

PENGARUH VARIASI LEBAR GALIAN TERHADAP FAKTOR KEAMANAN DAN PENENTUAN JENIS TURAP PADA KONSTRUKSI GALIAN BASEMENT

Rocky Roberto Donny Marciano Parlinggoman Siagian
NRP: 1321062

Pembimbing: Hanny Juliany Dani, S.T.,M.T.

ABSTRAK

Sebagai negara berkembang, Indonesia sering dilanda berbagai macam permasalahan. Salah satu upaya untuk menyelesaikan permasalahan-permasalahan yang ada adalah dengan melakukan pembangunan struktur dan infrastruktur secara berkala. Namun, pembangunan secara berkala menimbulkan permasalahan baru, yaitu berkurangnya ketersediaan lahan. Hal ini yang menjadi salah satu faktor bagi para perencana bangunan untuk membuat gedung-gedung pencakar langit. Gedung-gedung yang berada di daerah perkotaan biasanya memiliki *basement* (struktur bawah tanah). Pembangunan *basement* pada umumnya memerlukan dinding penahan tanah. Dinding penahan tanah berfungsi mencegah terjadinya kelongsoran dan rembesan air di sekitar daerah konstruksi. Salah satu permasalahan yang dapat muncul pada konstruksi turap adalah terjadinya defleksi (deformasi) dan penurunan pada dinding turap.

Data tanah yang digunakan adalah data hasil penyelidikan tanah di Kota Bogor. Pemodelan dinding turap kantilever menggunakan profil baja CRW-3B, CRW-5A, CRU5-600 yang diproduksi oleh ESC *Pile* dengan kedalaman galian rencana $H = 8\text{m}$. Dilakukan variasi terhadap lebar galian sebesar $B = 2H$, $B = 3H$, dan $B = 4H$. Beban rencana yang digunakan adalah sebesar $4,79\text{kN/m}^2$ sepanjang 15m. Analisis dilakukan menggunakan perangkat lunak Plaxis 2D.

Berdasarkan *output* yang diperoleh dari Plaxis 2D dapat disimpulkan bahwa lebar galian tidak memiliki dampak cukup signifikan pada faktor keamanan pada masa konstruksi, tetapi pelebaran lebar galian memberikan perubahan cukup besar pada defleksi dan penurunan dinding turap. Defleksi yang terbesar adalah sebesar 27,735mm pada pemodelan $B = 4H$ dengan menggunakan profil CRW-3B. Jenis turap CRW-5A lebih baik digunakan jika dibandingkan dengan dua profil yang lainnya karena faktor keamanan yang lebih besar di setiap pemodelan lebar galian.

Kata kunci: turap, kedalaman pemancangan, defleksi, penurunan, faktor keamanan

THE EFFECT OF WIDE VARIATION ON SAFETY FACTOR AND DETERMINATION OF SHEET PILE TYPE IN BASEMENT CONSTRUCTION

Rocky Roberto Donny Marciano Parlinggoman Siagian
NRP: 1321062

Supervisor: Hanny Juliany Dani, S.T.,M.T.

ABSTRACT

As a developed countries, Indonesia often hit by various kinds of problems. One attempt to solve the exist problems is the construction of structures and infrastructures regularly. However, the building regularly raises new problems, it's the reduced availability of land. This is one of many factors for engineering to make the skyscrapers. The buildings are located in urban areas usually have a basement (underground structures). Basement construction in general require retaining wall. Retaining wall serves to prevent the occurrence of landslide and seepage water around the construction area. One of the problems that can arise in a sheetpile construction is the deflection (deformation) and settlement.

Soil parameter that use is the results of the investigation in the city of Bogor. Cantilever sheet pile wall modeling using profile CRW-3B, CRW-5A, and CRU5-600 that manufactured by ESC pile with a depth of excavation plans $H = 8m$. The variations of the excavation width are $B = 2H$, $3H = B$ and $B = 4H$. The design load use is $4.79kN/m^2$ along $15m$. Analyses were performed using software Plaxis 2D.

Based on the output obtained from Plaxis 2D can be concluded that the effect of excavation width of not voting for a significant impact on the safety factor during the construction period. But the width of the excavation provides substantial changes in the deflection and settlement of sheetpile. The highest deflection is at 27.735mm on modeling $B = 4H$ using CRW-3B profile. CRW-5A is better used when compared to the other two profiles due to greater safety factor in each model width excavation

Keywords: sheet pile, depth of piling, deflection, settlement, and safety factor

DAFTAR ISI

HALAMAN JUDUL.....	i
LEMBAR PENGESAHAN	ii
PERNYATAAN ORISINALITAS LAPORAN PENELITIAN.....	iii
PERNYATAAN PUBLIKASI LAPORAN PENELITIAN.....	iv
SURAT KETERANGAN TUGAS AKHIR	v
SURAT KETERANGAN SELESAI TUGAS AKHIR	vi
KATA PENGANTAR	vii
ABSTRAK	ix
<i>ABSTRACT</i>	x
DAFTAR ISI	xi
DAFTAR GAMBAR	xiii
DAFTAR TABEL.....	xv
DAFAR NOTASI.....	xvi
DAFTAR LAMPIRAN.....	xvii
BAB I PENDAHULUAN	1
1.1 Latar Belakang	1
1.2 Tujuan Penelitian	2
1.3 Ruang Lingkup Pembahasan.....	2
1.4 Sistematika Penulisan.....	2
1.5 Lisensi Perangkat Lunak	3
BAB II TINJAUAN PUSTAKA	4
2.1 Parameter Tanah.....	4
2.1.1 Nilai-nilai Berat Volume.....	4
2.1.2 Nilai Poisson <i>Ratio</i>	5
2.1.3 Kohesi	5
2.1.4 Koefisien Rembesan	5
2.1.5 Modulus Young	6
2.1.6 Sudut Geser Dalam	7
2.1.7 Sudut Dilantansi	7
2.2 Dinding Penahan Tanah	7
2.2.1 Dinding Gravitasi	8
2.2.2 Dinding Kantilever.....	8
2.2.3 Dinding <i>Counterfort</i>	8
2.2.4 Dinding Tipe <i>Crib</i>	9
2.2.5 Dinding Tipe Semi Gravitas	9
2.2.6 Dinding Pangkal Jembatan.....	9
2.3 Turap	10
2.3.1 Turap Kayu.....	10
2.3.2 Turap Beton Bertulang.....	11
2.3.3 Turap Baja.....	12
2.3.4 Turap Kantilever	13
2.3.5 Turap Berjangkar	14

2.3.6 Bendungan Seluler (<i>Cofferdam</i>)	14
2.4 Tekanan Tanah Lateral.....	15
2.5 Tekanan Tanah Teori Rankine	16
2.6 Perhitungan Tekanan Tanah Lateral Teori Rankine	18
2.6.1 Tekanan Tanah Akibat Berat Sendiri.....	19
2.6.2 Tekanan Akibat Kohesi.....	22
2.6.3 Tekanan Akibat Beban Luar	24
2.6.4 Tekanan Akibat Air.....	26
2.6.5 Menghitung Kedalaman Pemancangan.....	28
2.7 Langkah-langkah Pemodelan Plaxis	28
2.7.1 Plaxis <i>Input</i>	28
2.7.2 Plaxis <i>Calculation</i>	36
2.7.3 Plaxis <i>Output</i>	39
BAB III METODE PENELITIAN.....	41
3.1 Bagan Alir Penelitian	41
3.2 Pengumpulan Data	42
3.2.1 Data Tanah.....	42
3.2.2 Data Turap.....	45
3.3 Penentuan Beban Rencana	46
BAB IV ANALISIS DATA.....	47
4.1 Perhitungan Kedalaman Pemancangan Turap	47
4.2 Analisis Plaxis.....	52
4.2.1 Analisis Dinding Turap pada Pemodelan $B = 2H$	53
4.2.2 Analisis Dinding Turap pada Pemodelan $B = 3H$	56
4.2.3 Analisis Dinding Turap pada Pemodelan $B = 4H$	60
4.3 Pembahasan.....	64
4.3.1 Defleksi Turap (<i>Horizontal Displacement</i>).....	64
4.3.2 Penurunan Turap (<i>Vertical Displacement</i>).....	66
4.2.3 Penurunan Tanah (<i>Vertical Displacement</i>)	68
4.2.4 Faktor Keamanan (<i>Safety Factor</i>).....	70
BAB V SIMPULAN DAN SARAN	74
5.1 Simpulan	74
5.2 Saran.....	75
DAFTAR PUSTAKA	76
LAMPIRAN	77

DAFTAR GAMBAR

Gambar 2.1	Jenis-jenis Dinding Penahan Tanah	9
Gambar 2.2	Dinding Turap Kayu	11
Gambar 2.3	Turap Beton Bertulang.....	11
Gambar 2.4	Turap Baja dan Sambungan Turap Baja	12
Gambar 2.5	Turap Kantilever	13
Gambar 2.6	Turap Berjangkar	14
Gambar 2.7	Rangkaian Turap untuk Membuat Sel.....	14
Gambar 2.8	Tekanan Tanah	16
Gambar 2.9	(a) Sistem Struktur Tanah untuk Pemecahan Rankine dengan $\alpha=90^\circ$; (b) Segitiga Gaya di Dalam Pemecahan Rankine	16
Gambar 2.10	Kondisi Umum dan Lingkaran Mohr Teori Rankine	17
Gambar 2.11	Diagram Tekanan Tanah Lateral.....	18
Gambar 2.12	Diagram tekanan Tanah Lateral Akibat Berat Sendiri Tanah	19
Gambar 2.13	Penyederhanaan Diagram Tekanan Tanah Lateral Akibat Berat Sendiri Tanah.....	21
Gambar 2.14	Diagram Tekanan Tanah Lateral Akibat Kohesi	22
Gambar 2.15	Penyederhanaan Diagram Tekanan Tanah Lateral Akibat Kohesi	24
Gambar 2.16	Diagram Tekanan Tanah Lateral Akibat Beban Luar	24
Gambar 2.17	Penyederhanaan Diagram Tekanan Tanah Lateral Akibat Beban Luar	26
Gambar 2.18	Diagram Tekanan Akibat Air.....	26
Gambar 2.19	Jendela <i>Create/Open Project</i>	28
Gambar 2.20	Jendela <i>General Settings</i>	29
Gambar 2.21	Bidang Gambar	29
Gambar 2.22	Tampilan <i>Input</i> Data Tanah dan Turap	30
Gambar 2.23	Lapisan Tanah dan Dinding Turap.....	31
Gambar 2.24	<i>Input</i> Tanah dan Turap pada Bidang Gambar	32
Gambar 2.25	<i>Input</i> Beban Luar.....	33
Gambar 2.26	<i>Standard fixities</i>	33
Gambar 2.27	<i>Mesh Generation Setup</i>	34
Gambar 2.28	Tampilan <i>Generate Mesh</i>	34
Gambar 2.29	Penentuan Berat Isi Air	35
Gambar 2.30	<i>Effective Stresses</i>	35
Gambar 2.31	Tampilan Plaxis <i>Calculation</i>	36
Gambar 2.32	Galian Tahap Pertama	37
Gambar 2.33	Galian Tahap Kedua.....	37
Gambar 2.34	Galian Tahap Ketiga	38
Gambar 2.35	<i>Deformed Mesh</i>	39
Gambar 2.36	<i>Total Displacement</i>	40
Gambar 3.1	Bagan Alir Penelitian	41
Gambar 3.2	<i>Boring Log</i>	43

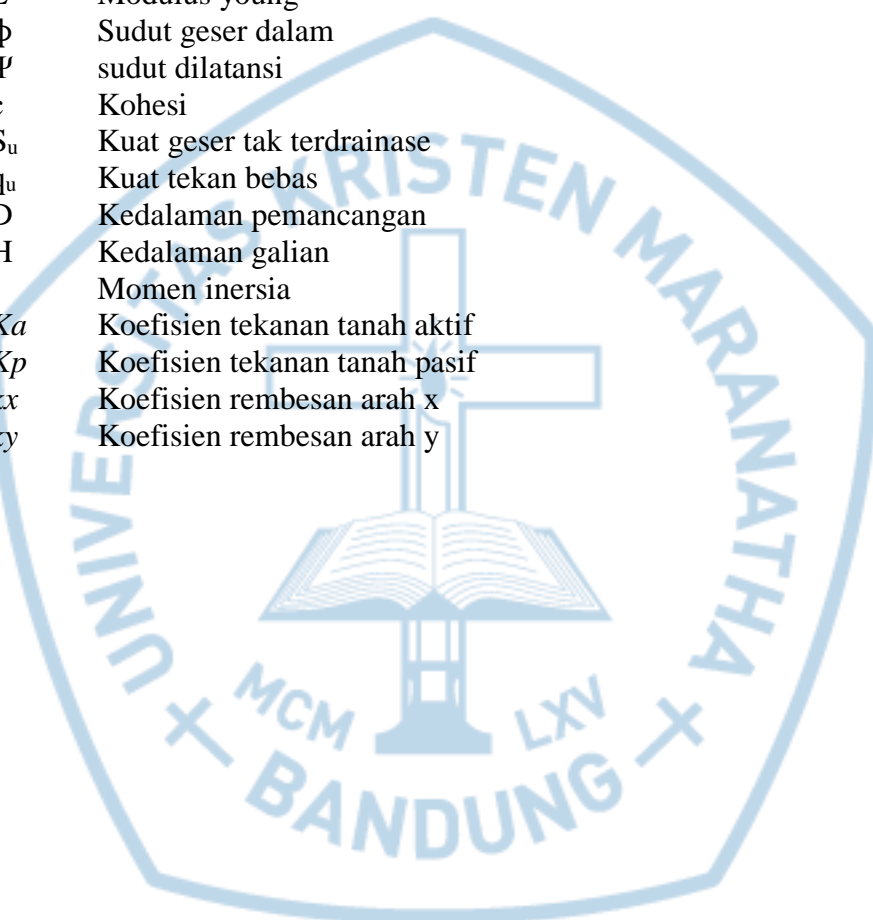
Gambar 4.1	Defleksi Turap untuk $B = 2H$	56
Gambar 4.2	Defleksi Turap untuk $B = 3H$	60
Gambar 4.3	Defleksi Turap untuk $B = 4H$	64
Gambar 4.4	Kurva Hubungan B/H Terhadap Defleksi.....	65
Gambar 4.5	Kurva Hubungan B/H Terhadap <i>Settlement</i>	67
Gambar 4.6	<i>Deformed Mesh</i>	67
Gambar 4.7	<i>Vertical Displacement</i>	69
Gambar 4.8	Faktor Keamanan	71



DAFTAR TABEL

Tabel 2.1	Berat Volume Tanah	4
Tabel 2.2	Koefisien Poisson <i>Ratio</i>	5
Tabel 2.3	Kohesi	5
Tabel 2.4	Koefisien Rembesan.....	5
Tabel 2.5	Nilai Modulus Young.....	6
Tabel 2.6	Nilai Sudut Geser Dalam	7
Tabel 3.1	Hasil Uji Laboratorium	42
Tabel 3.2	Parameter Tanah.....	45
Tabel 3.3	Spesifikasi Turap Baja	45
Tabel 4.1	Perhitungan Momen di Titik O' Akibat Tekanan Tanah.....	47
Tabel 4.2	Perhitungan Momen di Titik O Akibat Tekanan Tanah.....	48
Tabel 4.3	Perhitungan Momen di Titik O' Akibat Kohesi.....	49
Tabel 4.4	Perhitungan Momen di Titik O Akibat Kohesi.....	49
Tabel 4.5	Perhitungan Momen di Titik O' Akibat Beban Luar	50
Tabel 4.6	Perhitungan Momen di Titik O Akibat Beban Luar.....	50
Tabel 4.7	Perhitungan Momen di Titik O Akibat Air	51
Tabel 4.8	Defleksi dan Penurunan Profil CRW-3B pada Model $B = 2H$	53
Tabel 4.9	Defleksi dan Penurunan Profil CRW-5A pada Model $B = 2H$	54
Tabel 4.10	Defleksi dan Penurunan Profil CRU5-600 Pada Model $B = 2H$	55
Tabel 4.11	Defleksi dan Penurunan Profil CRW-3B pada Model $B = 3H$	57
Tabel 4.12	Defleksi dan Penurunan Profil CRW-5A pada Model $B = 3H$	58
Tabel 4.13	Defleksi dan Penurunan Profil CRU5-600 pada Model $B = 3H$	59
Tabel 4.14	Defleksi dan Penurunan Profil CRW-3B pada Model $B = 4H$	61
Tabel 4.15	Defleksi dan Penurunan Profil CRW-5A pada Model $B = 4H$	62
Tabel 4.16	Defleksi dan Penurunan Profil CRU5-600 pada Model $B = 4H$	63
Tabel 4.17	Defleksi Turap di Beragam Variasi Lebar Galian.....	65
Tabel 4.18	Penurunan Turap di Beragam Variasi Lebar Galian	66
Tabel 4.19	Penurunan Tanah.....	68
Tabel 4.20	Faktor Keamanan	70

DAFTAR NOTASI



α	Kemiringan dinding penahan tanah
β	Kemiringan timbunan (<i>backfill</i>)
γ_d	Berat isi tanah
γ_{sat}	Berat isi tanah jenuh
ν	Poisson ratio
E	Modulus young
ϕ	Sudut geser dalam
Ψ	sudut dilatansi
c	Kohesi
S_u	Kuat geser tak terdrainase
q_u	Kuat tekan bebas
D	Kedalaman pemancangan
H	Kedalaman galian
I	Momen inersia
K_a	Koefisien tekanan tanah aktif
K_p	Koefisien tekanan tanah pasif
k_x	Koefisien rembesan arah x
k_y	Koefisien rembesan arah y

DAFTAR LAMPIRAN

Lampiran L.1 Profil Turap	77
Lampiran L.2 Contoh <i>Output Plaxis</i>	78

